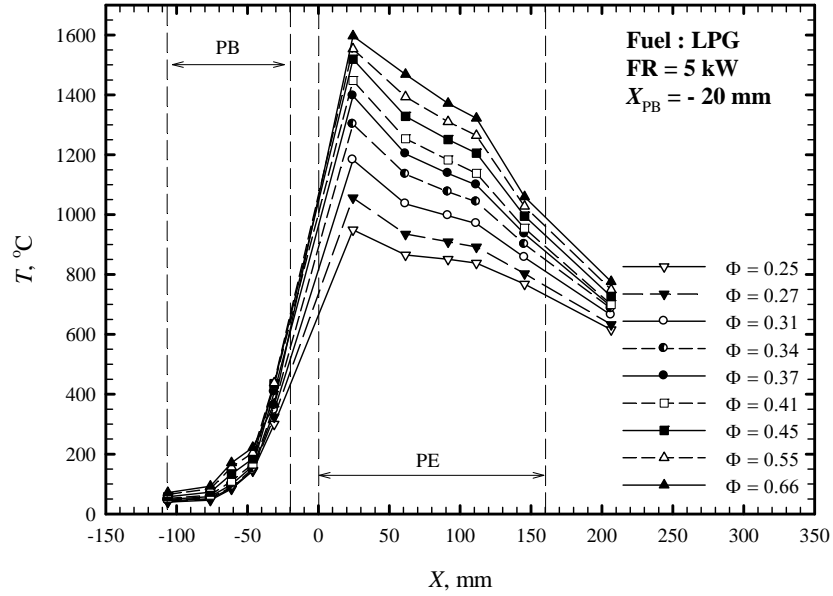


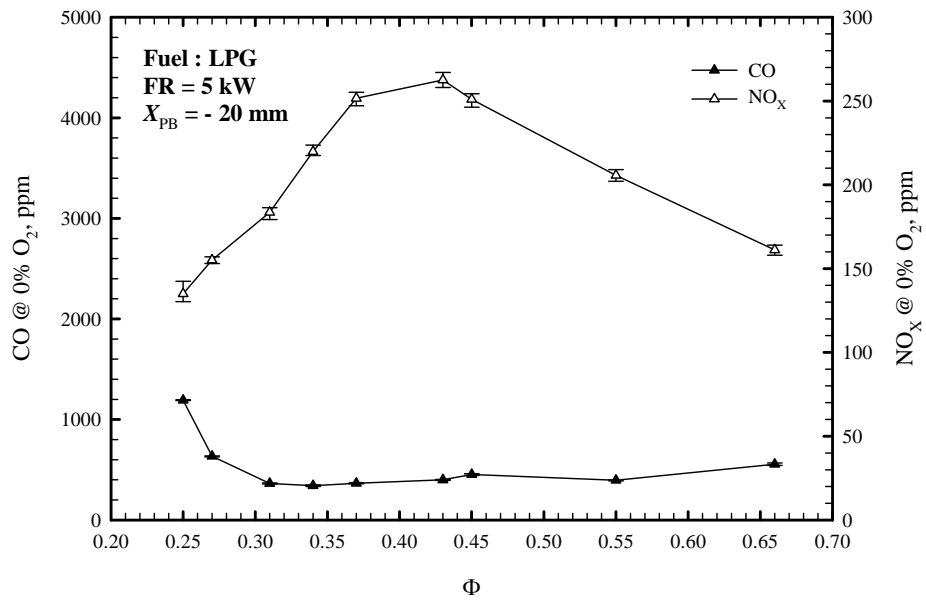
ภาคผนวก ค
กราฟผลการทดลอง

เชื้อเพลิง LPG

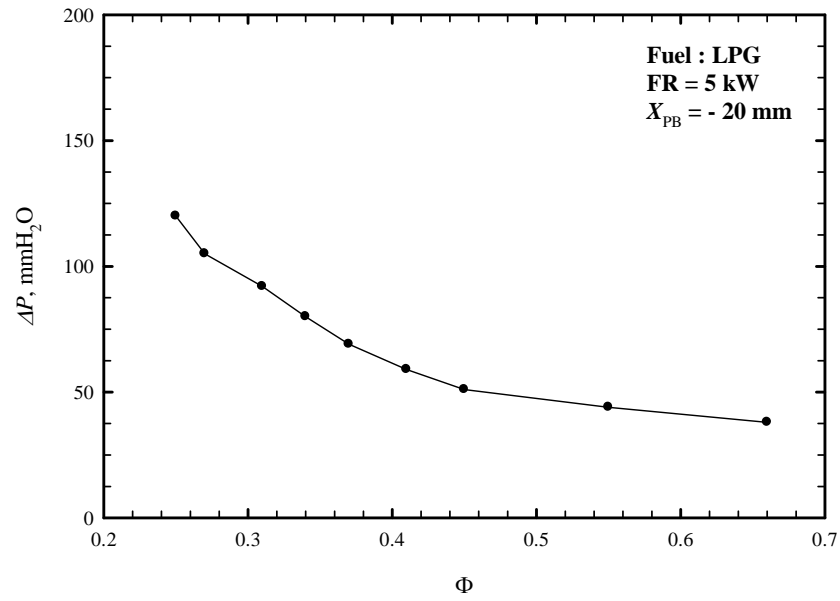
อิทธิพลของค่า Φ ต่อการเผาไหม้



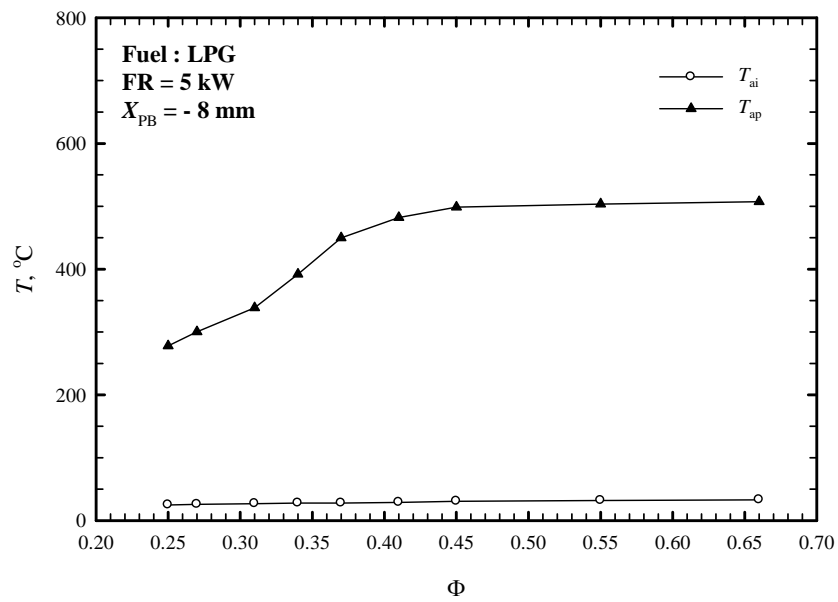
รูปที่ ค.1 อิทธิพลของค่า Φ ต่อโครงสร้างอุณหภูมิภายในหัวเผาเมื่อใช้เชื้อเพลิง LPG



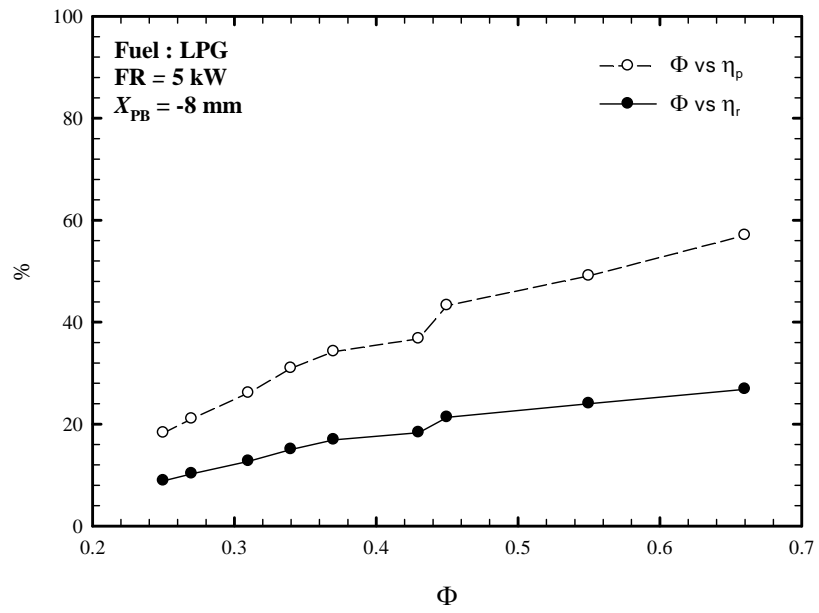
รูปที่ ค.2 อิทธิพลของค่า Φ ต่อปริมาณ CO และ NO_x ในไอเสียเมื่อใช้เชื้อเพลิง LPG



รูปที่ ๓.3 อิทธิพลของค่า Φ ต่อ ΔP เมื่อใช้เชื้อเพลิง LPG

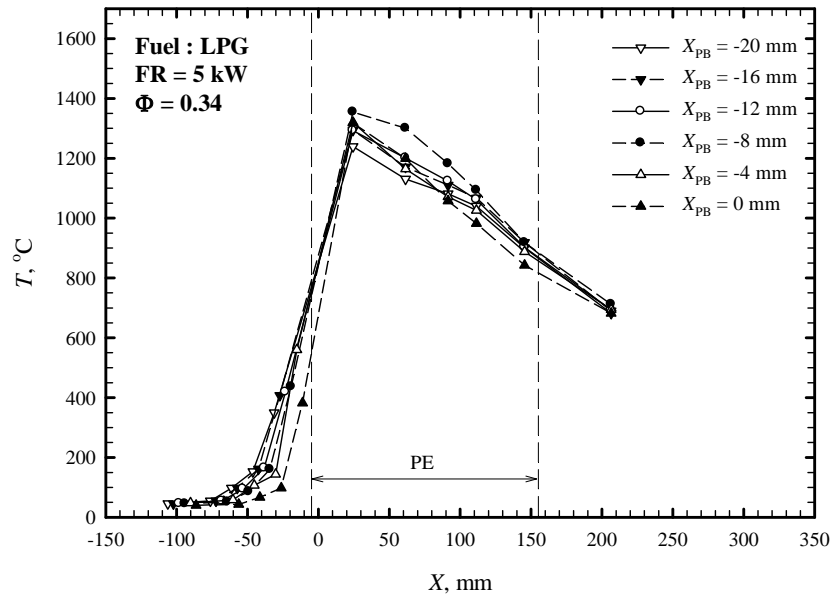


รูปที่ ๓.4 อิทธิพลของค่า Φ ต่อ T_{ap} เมื่อใช้เชื้อเพลิง LPG

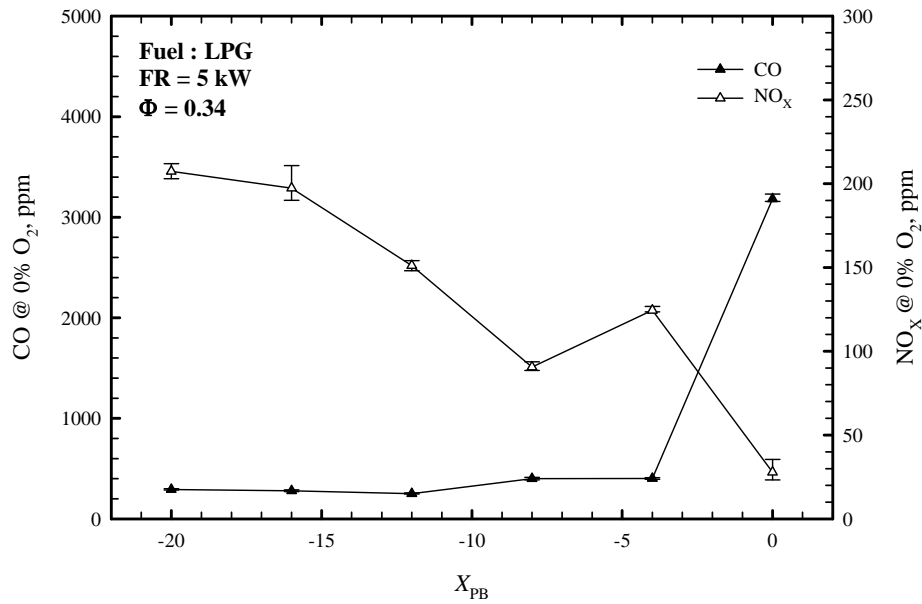


รูปที่ ค.5 อิทธิพลของค่า Φ ต่อ η_p และ η_r เมื่อใช้เชื้อเพลิง LPG

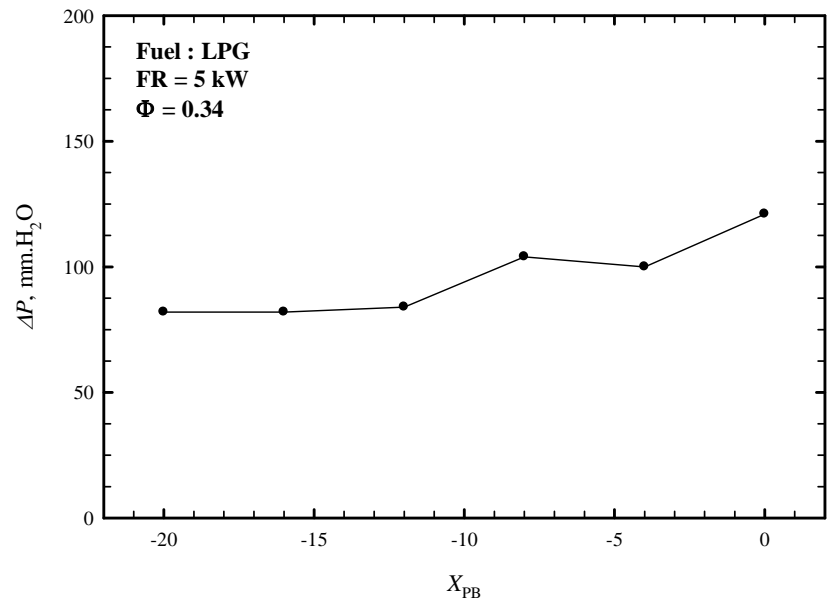
อิทธิพลของค่า X_{PB} ต่อการเผาไหม้



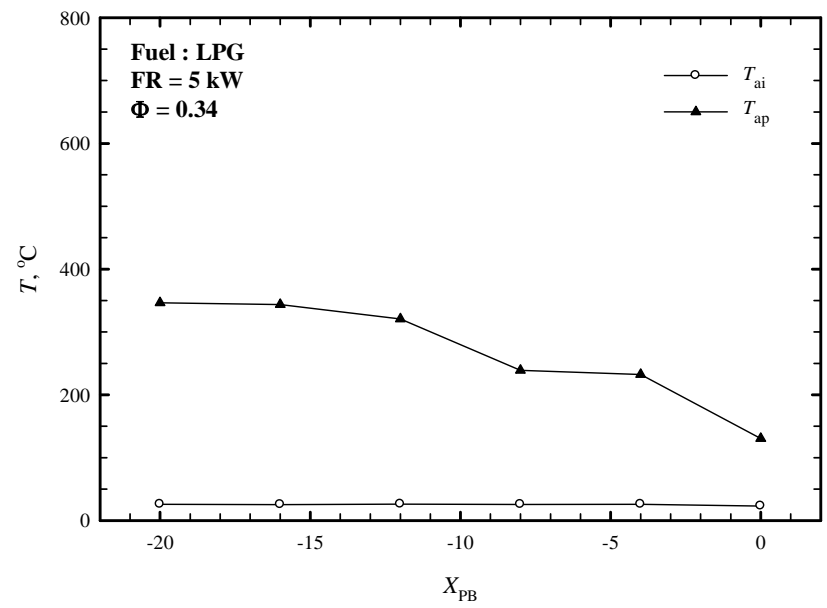
รูปที่ ๖.6 อิทธิพลของค่า X_{PB} ต่อโครงสร้างอุณหภูมิภายในหัวเผาเมื่อใช้เชื้อเพลิง LPG



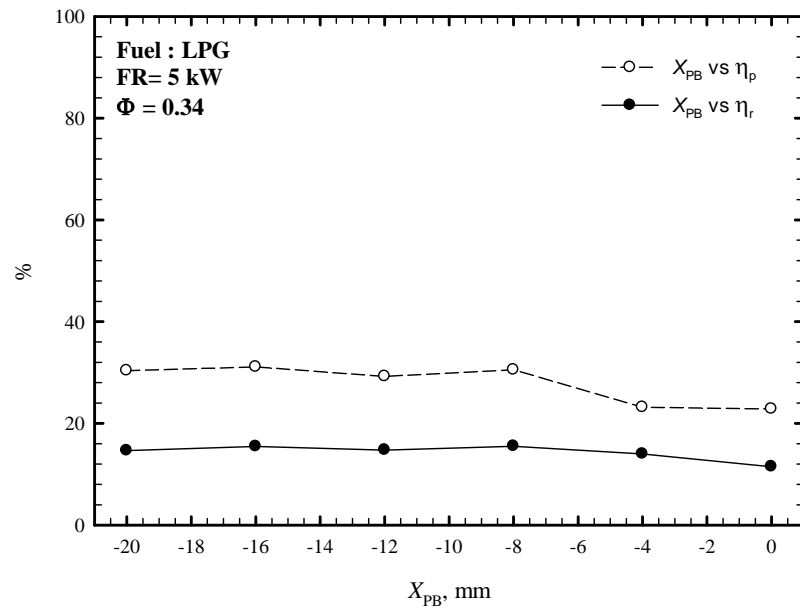
รูปที่ ๖.7 อิทธิพลของค่า X_{PB} ต่อปริมาณ CO และ NO_x ในไอเสียเมื่อใช้เชื้อเพลิง LPG



รูปที่ ค.8 อิทธิพลของค่า X_{PB} ต่อ ΔP เมื่อใช้เชื้อเพลิง LPG

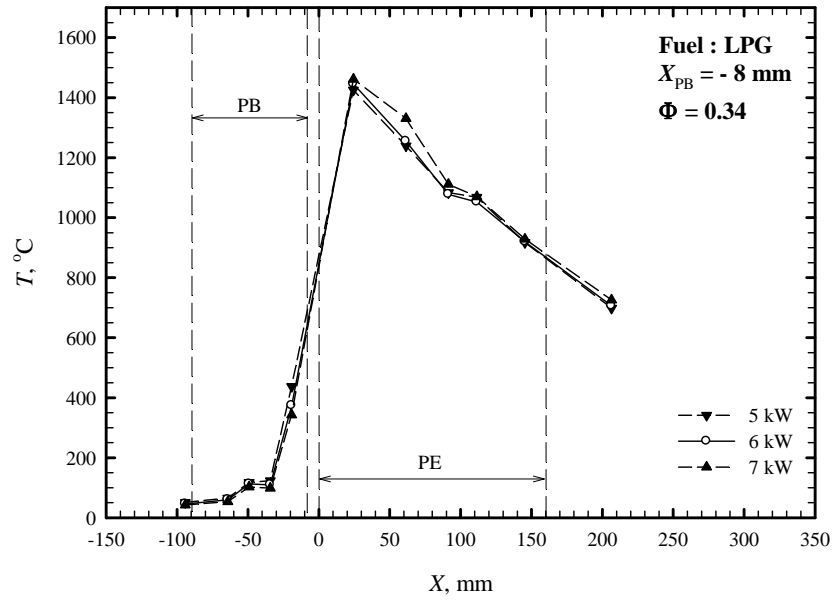


รูปที่ ค.9 อิทธิพลของค่า X_{PB} ต่อ T_{ap} เมื่อใช้เชื้อเพลิง LPG

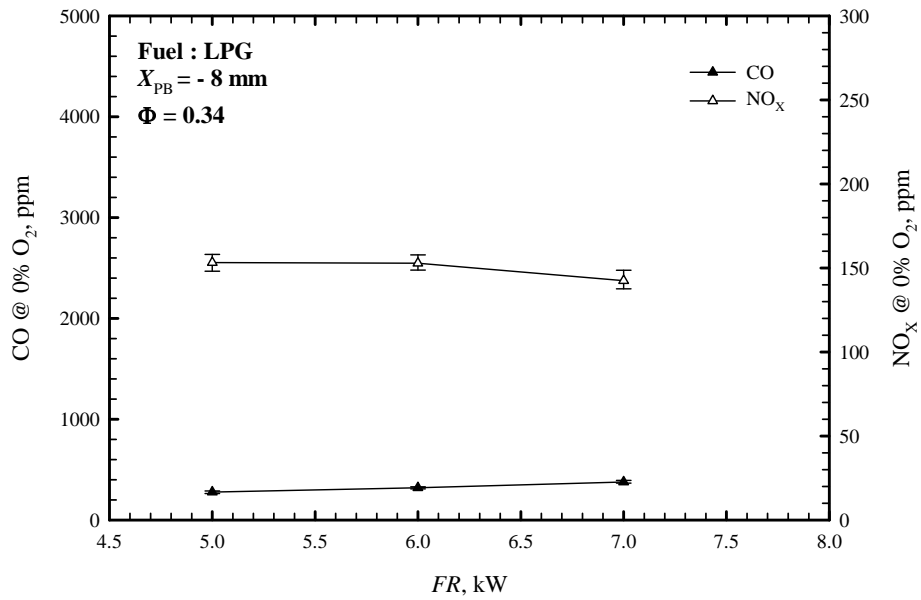


รูปที่ ค.10 อิทธิพลของค่า X_{PB} ต่อ η_p และ η_r เมื่อใช้เชื้อเพลิง LPG

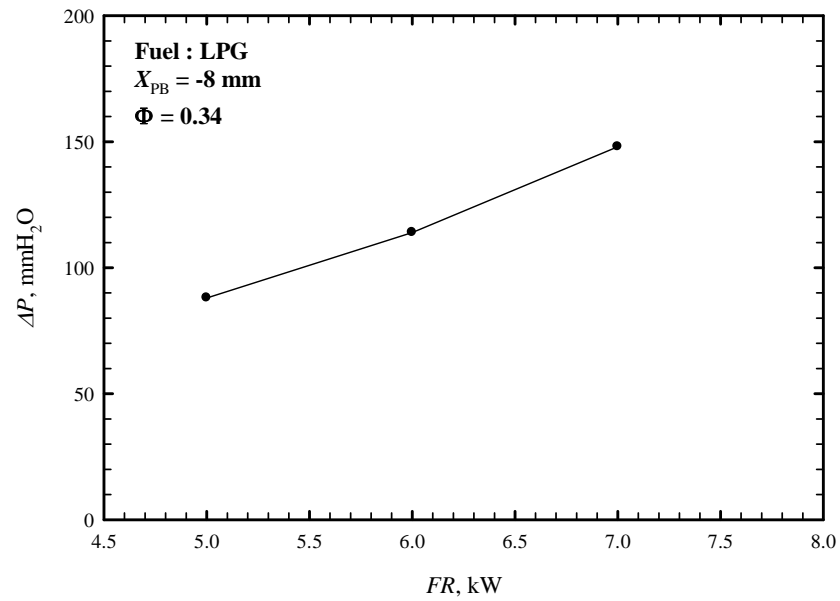
อิทธิพลของค่า FR ต่อการเผาไหม้



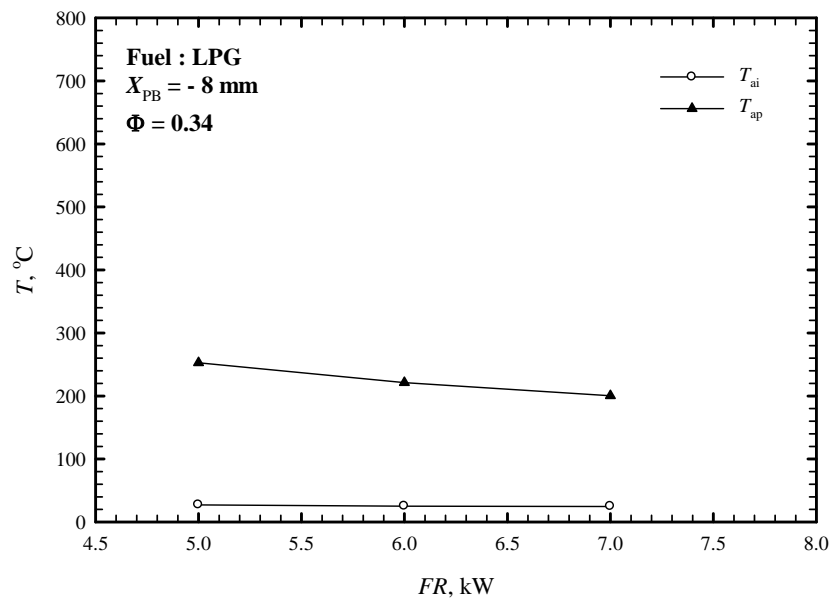
รูปที่ ค.11 อิทธิพลของค่า FR ต่อโครงสร้างอุณหภูมิภายในหัวเผาเมื่อใช้เชื้อเพลิง LPG



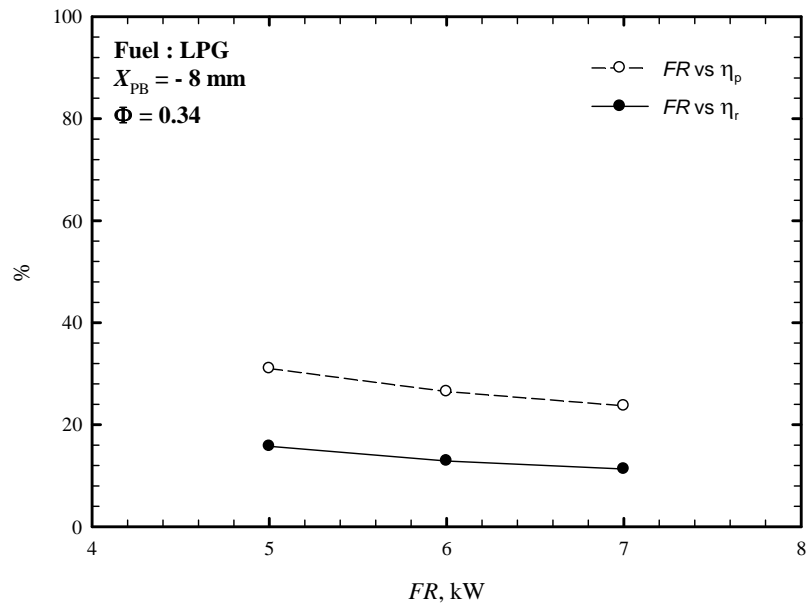
รูปที่ ค.12 อิทธิพลของค่า FR ต่อปริมาณ CO และ NO_x ในไอเสียเมื่อใช้เชื้อเพลิง LPG



รูปที่ ค.13 อิทธิพลของค่า FR ต่อ ΔP เมื่อใช้เชื้อเพลิง LPG



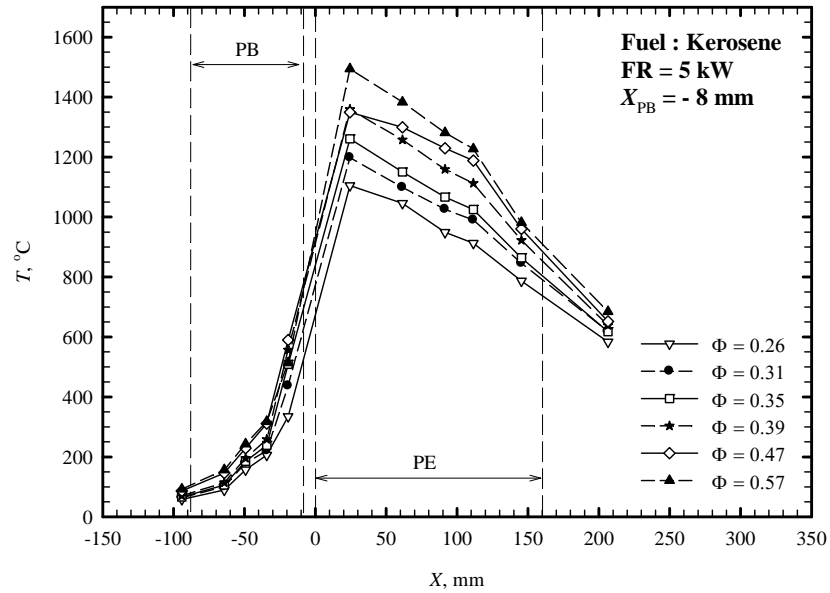
รูปที่ ค.14 อิทธิพลของค่า FR ต่อ T_{ap} เมื่อใช้เชื้อเพลิง LPG



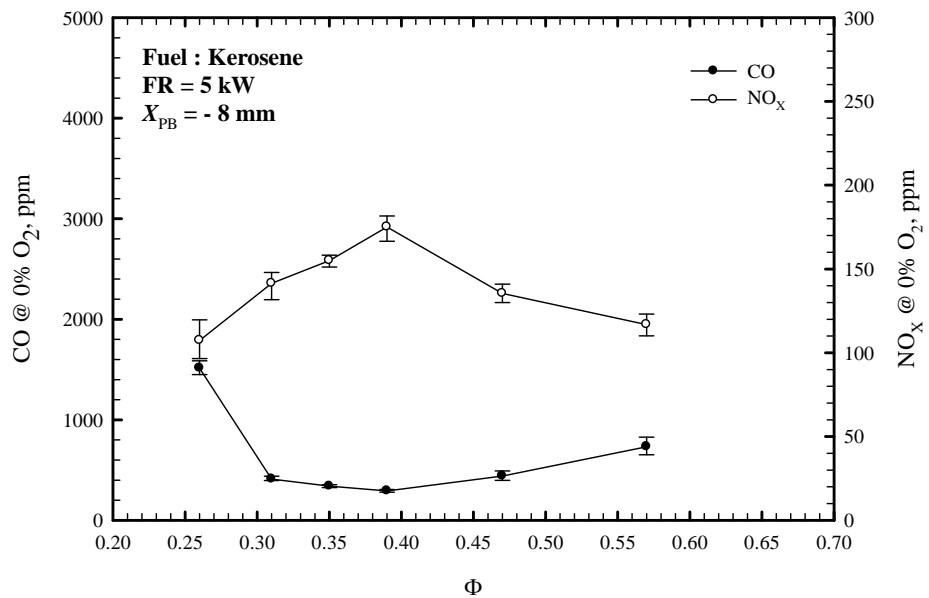
รูปที่ ค.15 อิทธิพลของค่า FR ต่อ η_{pre} และ η_{rad} เมื่อใช้เชื้อเพลิง LPG

เชื้อเพลิง Kerosene

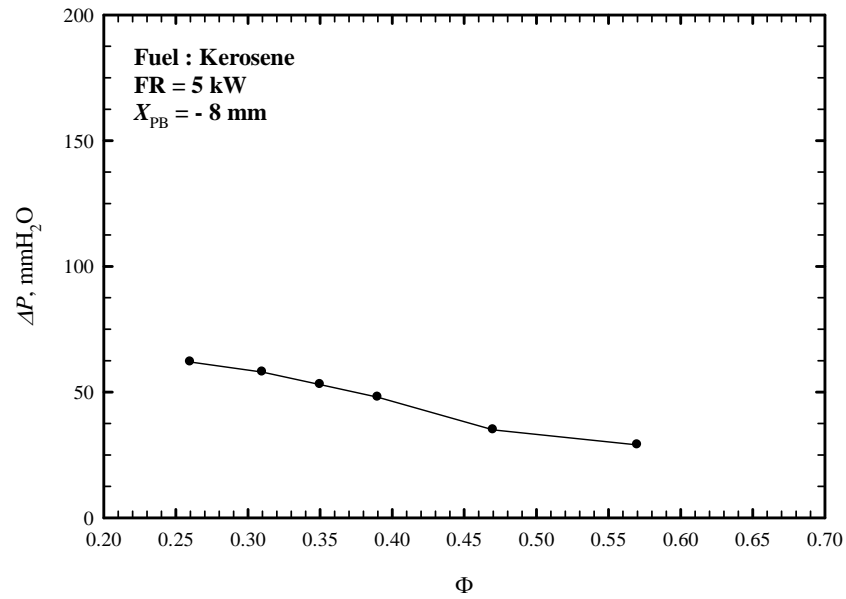
อิทธิพลของค่า Φ ต่อการเผาไหม้



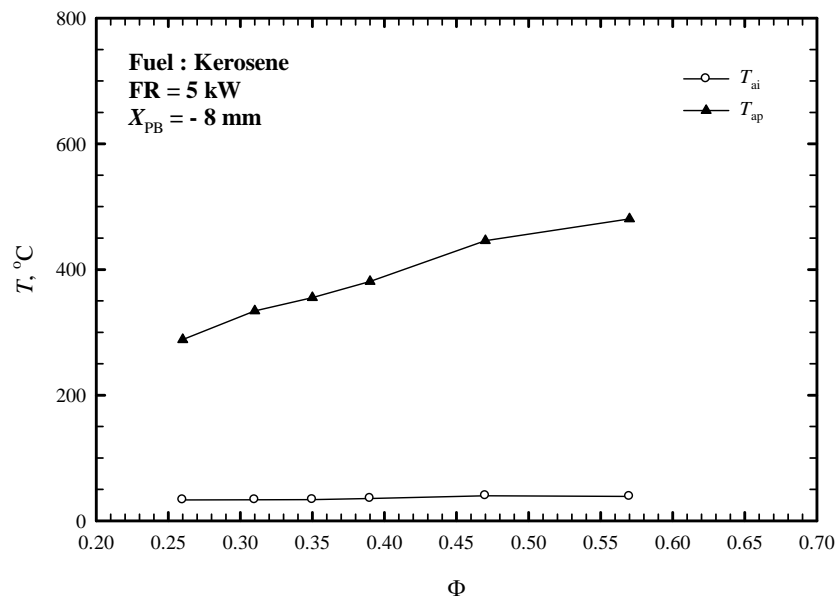
รูปที่ ค.16 อิทธิพลของค่า Φ ต่อโครงสร้างอุณหภูมิภายในหัวเผาเมื่อใช้เชื้อเพลิง Kerosene



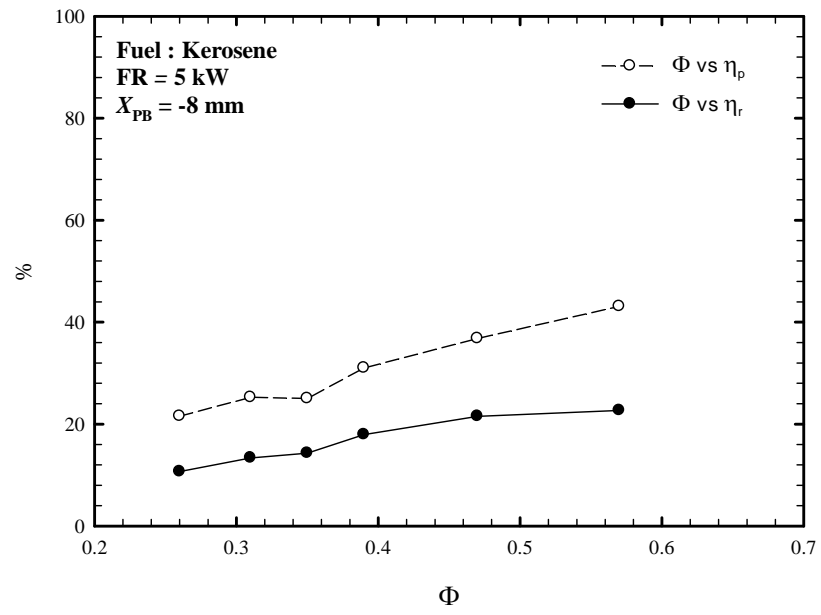
รูปที่ ค.17 อิทธิพลของค่า Φ ต่อปริมาณ CO และ NO_x ในไอเสียเมื่อใช้เชื้อเพลิง Kerosene



รูปที่ ก.18 อิทธิพลของค่า Φ ต่อ ΔP เมื่อใช้เชื้อเพลิง Kerosene

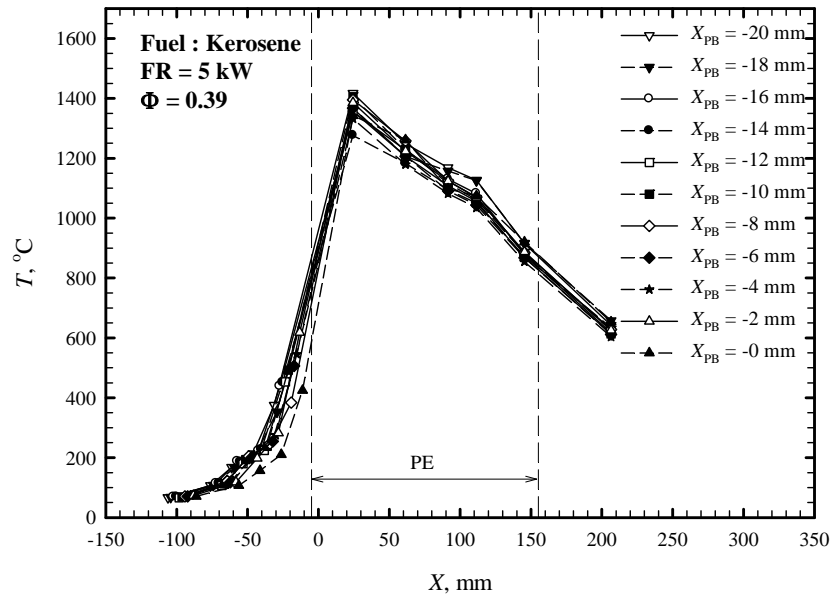


รูปที่ ก.19 อิทธิพลของค่า Φ ต่อ T_{ap} เมื่อใช้เชื้อเพลิง Kerosene

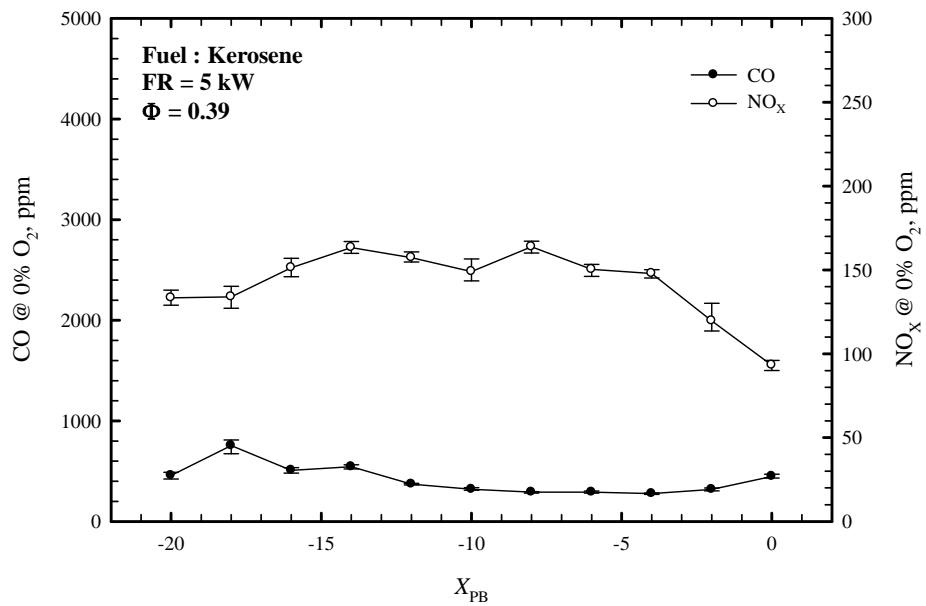


รูปที่ ค.20 อิทธิพลของค่า Φ ต่อ η_p และ η_r เมื่อใช้เชื้อเพลิง Kerosene

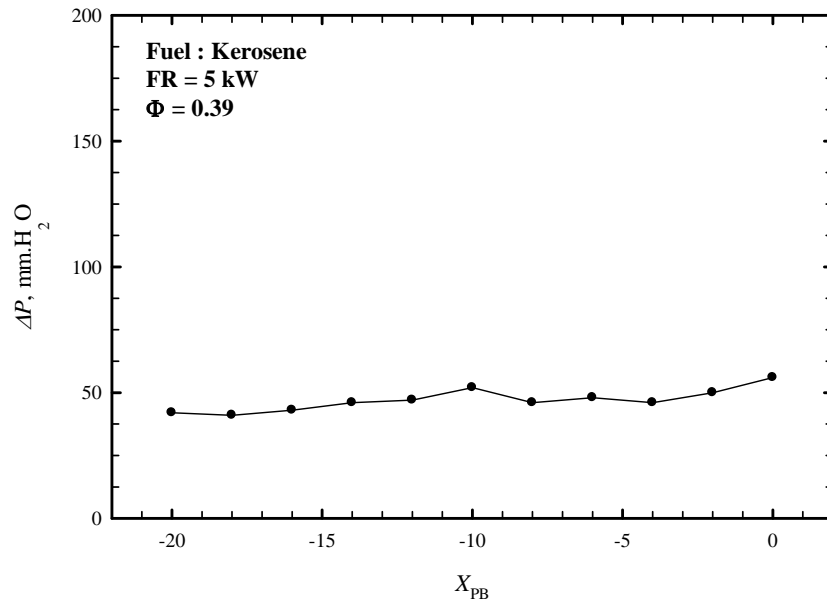
อิทธิพลของค่า X_{PB} ต่อการเผาไหม้



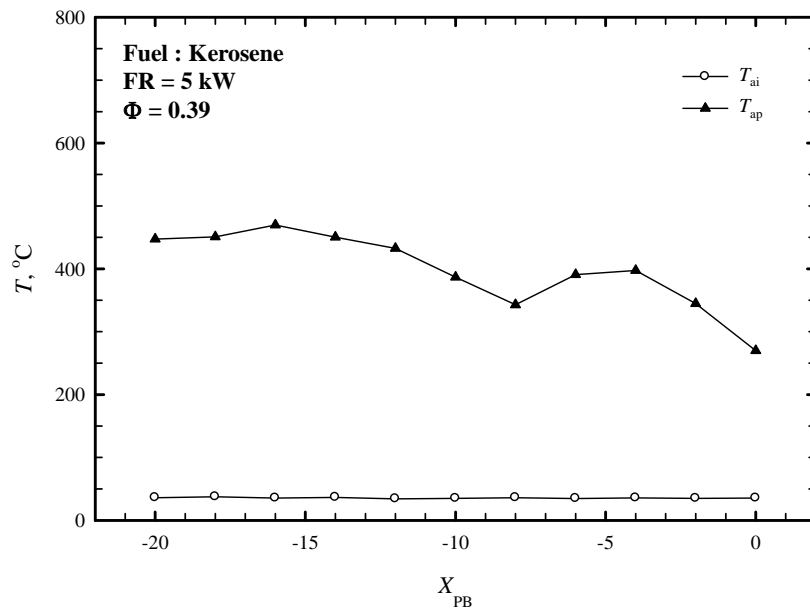
รูปที่ ค.21 อิทธิพลของค่า X_{PB} ต่อโครงสร้างอุณหภูมิเมื่อใช้เชื้อเพลิง Kerosene



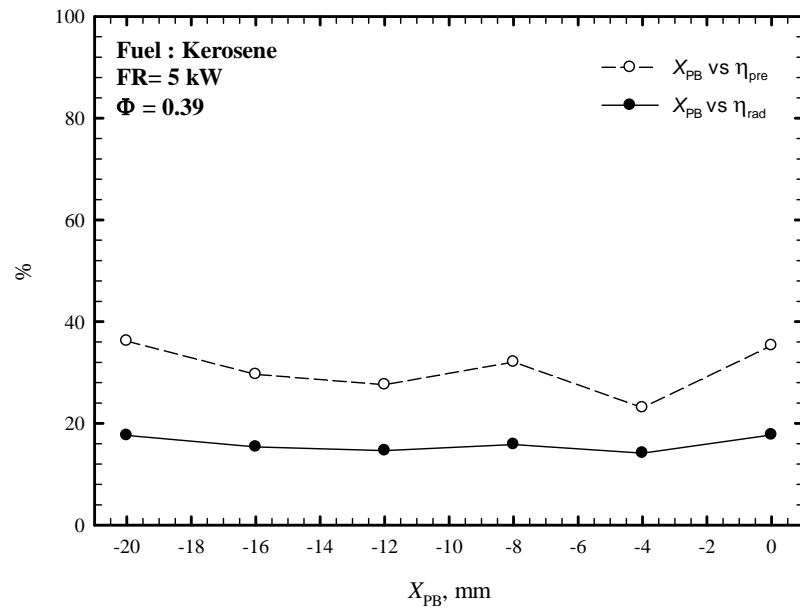
รูปที่ ค.22 อิทธิพลของค่า X_{PB} ต่อปริมาณ CO และ NO_x ในไอเสียเมื่อใช้เชื้อเพลิง Kerosene



รูปที่ ค.23 อิทธิพลของค่า X_{PB} ต่อ ΔP เมื่อใช้เชื้อเพลิง Kerosene

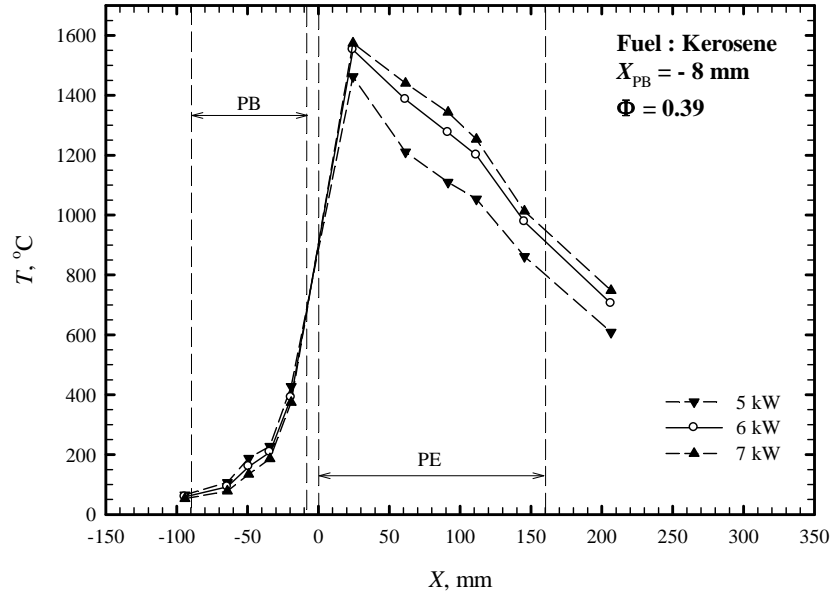


รูปที่ ค.24 อิทธิพลของค่า X_{PB} ต่อ T_{ap} เมื่อใช้เชื้อเพลิง Kerosene

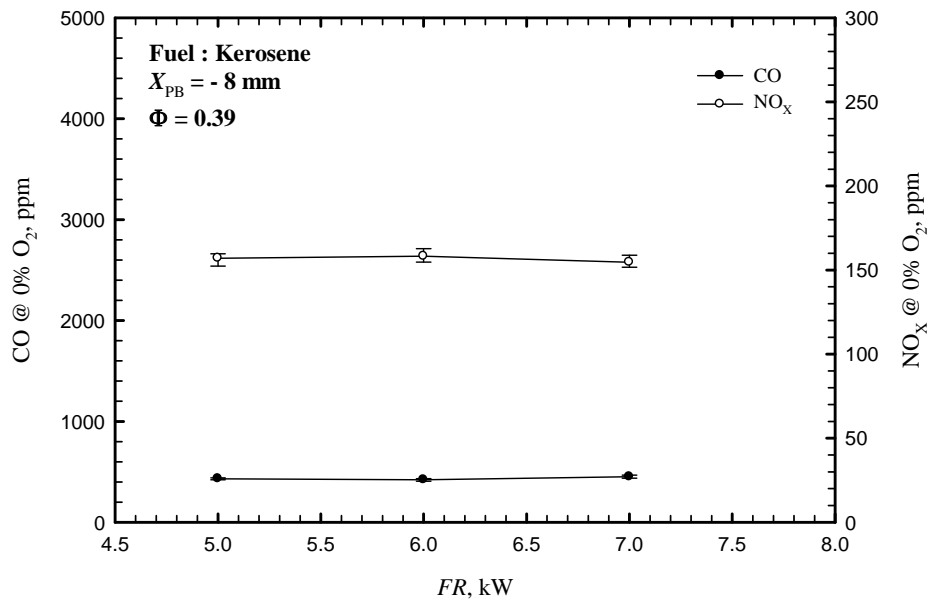


รูปที่ ๒.๒๕ อิทธิพลของค่า X_{PB} ต่อ η_{pre} และ η_{rad} เมื่อใช้เชื้อเพลิง Kerosene

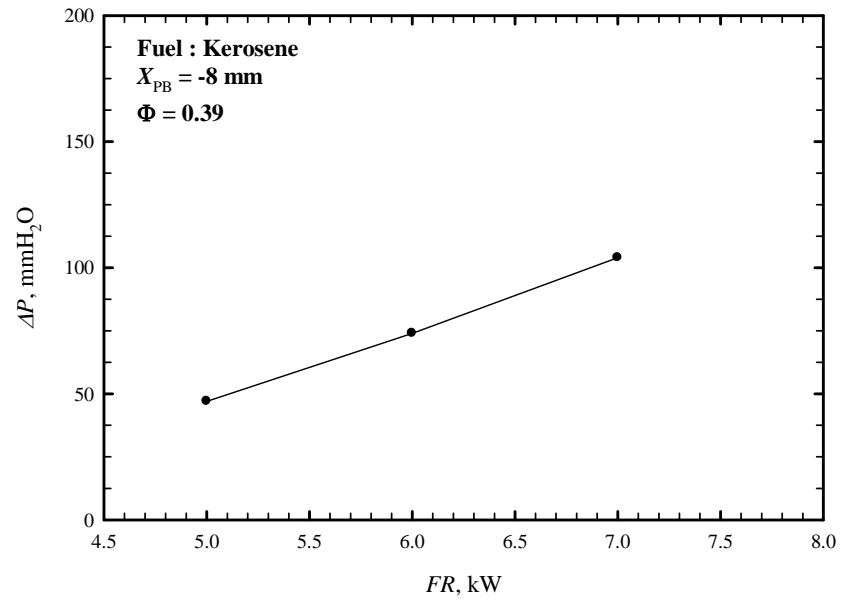
อิทธิพลของค่า FR ต่อการเผาไหม้



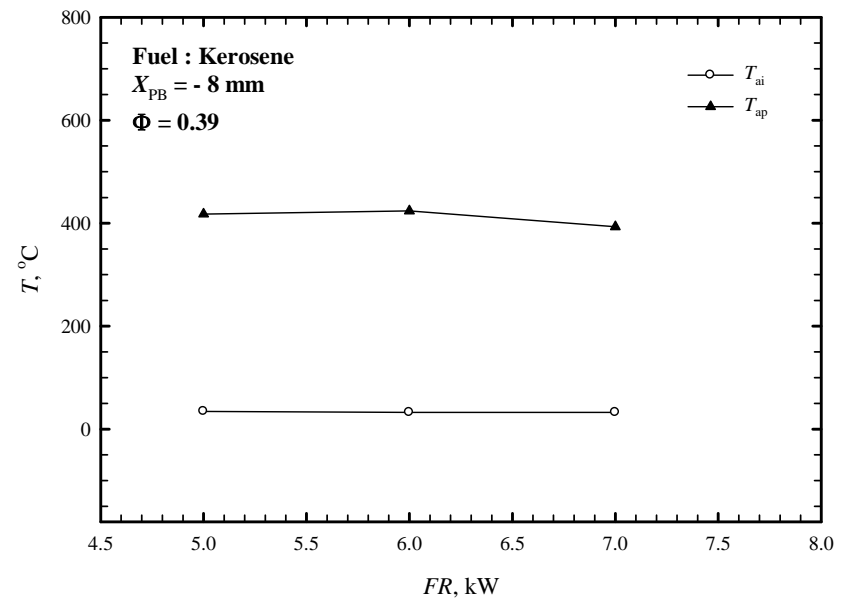
รูปที่ ค.26 อิทธิพลของค่า FR ต่อโครงสร้างอุณหภูมิเมื่อใช้เชื้อเพลิง Kerosene



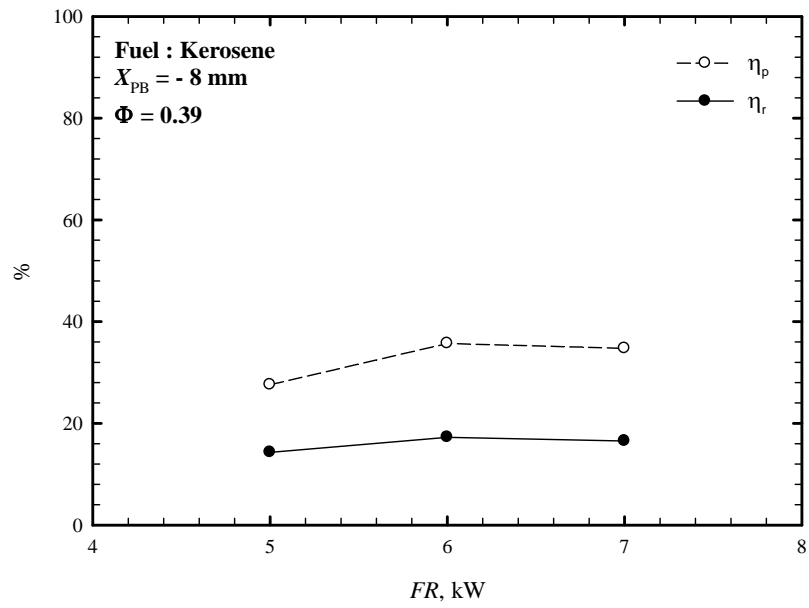
รูปที่ ค.27 อิทธิพลของค่า FR ต่อปริมาณ CO และ NO_x ในไอเสียเมื่อใช้เชื้อเพลิง Kerosene



รูปที่ ค.28 อิทธิพลของค่า FR ต่อ ΔP เมื่อใช้เชื้อเพลิง Kerosene



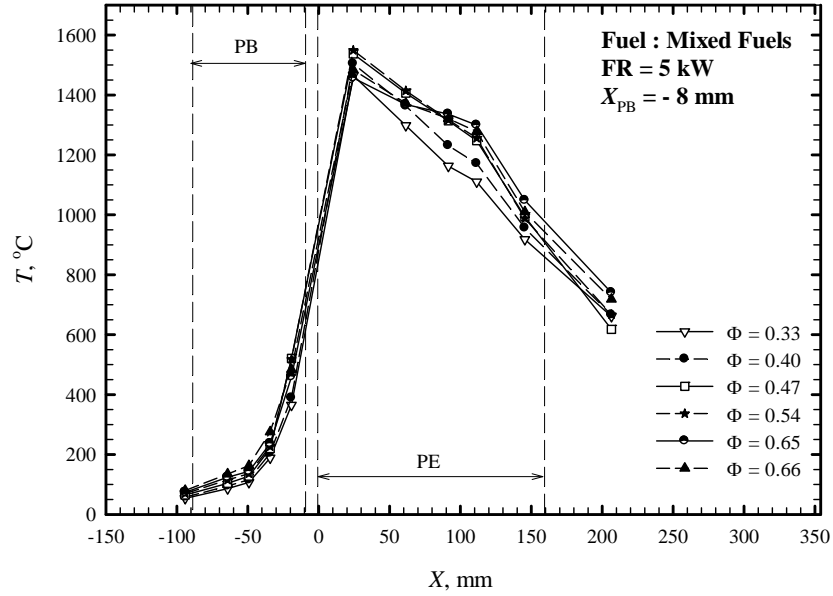
รูปที่ ค.29 อิทธิพลของค่า FR ต่อ T_{ap} เมื่อใช้เชื้อเพลิง Kerosene



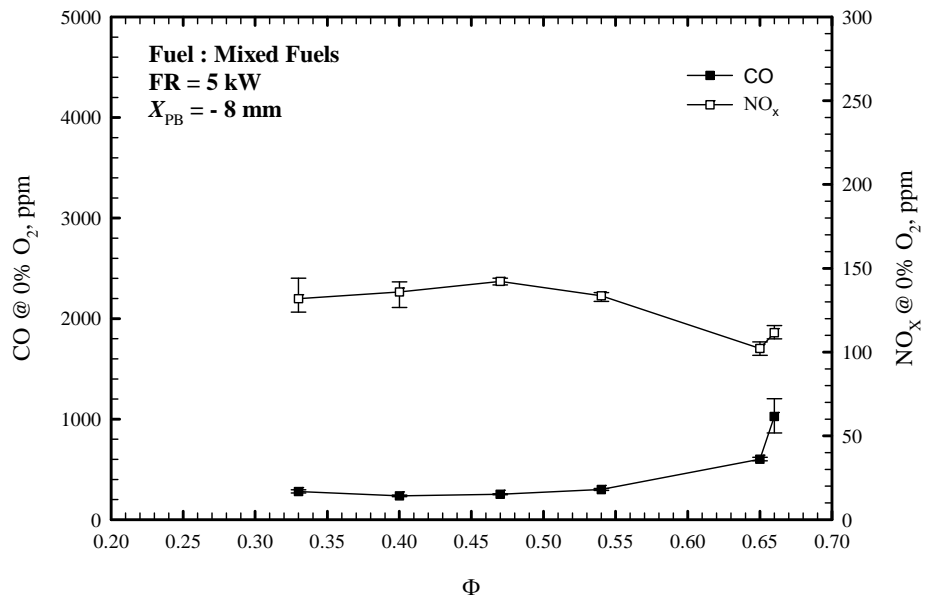
รูปที่ ๓.30 อิทธิพลของค่า FR ต่อ η_p และ η_r เมื่อใช้เชื้อเพลิง Kerosene

เชื้อเพลิง Mixed Fuel (50% LPG + 50% Kerosene)

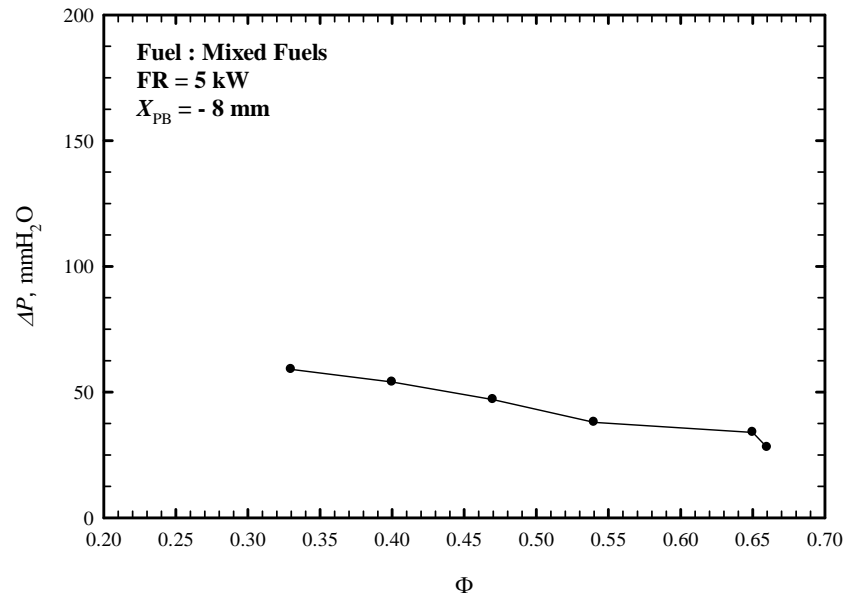
อิทธิพลของค่า Φ ต่อการเผาไหม้



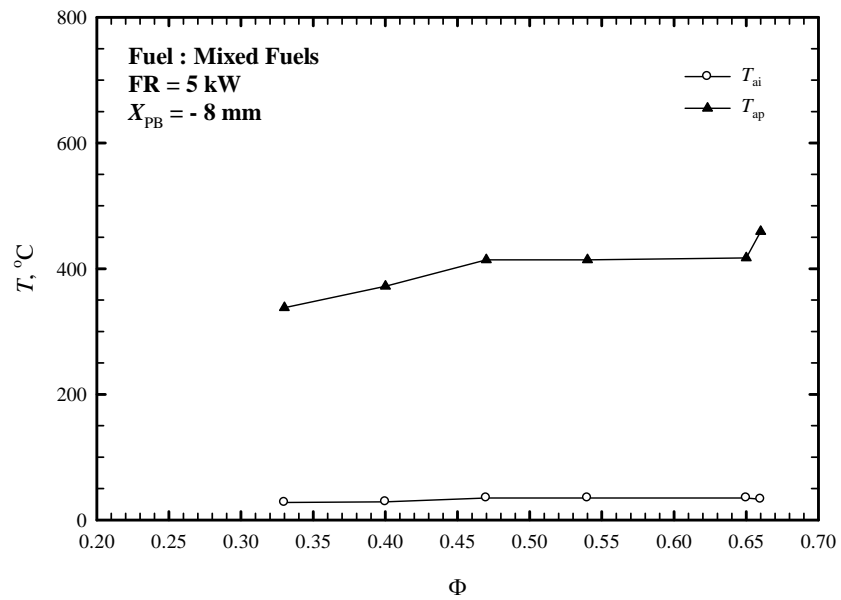
รูปที่ ๓.๓๑ อิทธิพลของค่า Φ ต่อโครงสร้างอุณหภูมิภายในหัวเผาเมื่อใช้เชื้อเพลิงผสม



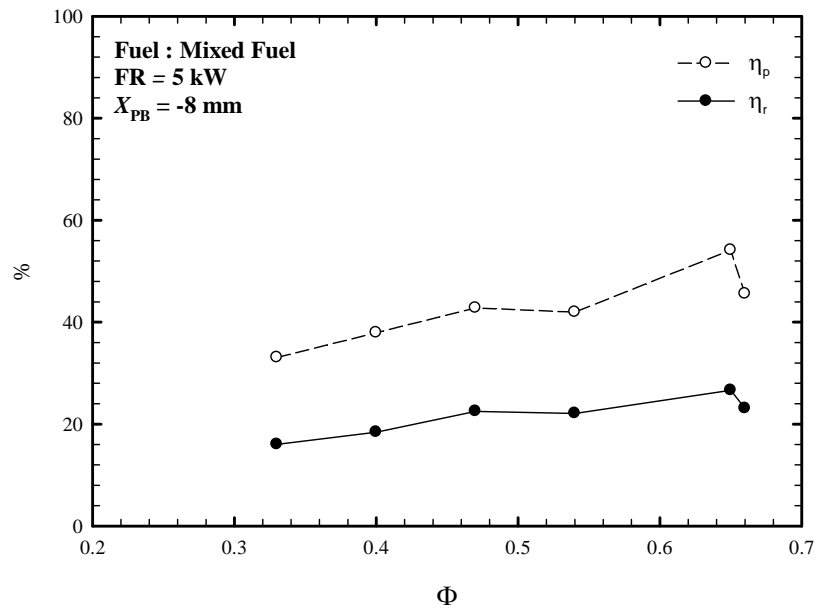
รูปที่ ๓.๓๒ อิทธิพลของค่า Φ ต่อปริมาณ CO และ NO_x ในไอเสียเมื่อใช้เชื้อเพลิงผสม



รูปที่ ค.33 อิทธิพลของค่า Φ ต่อ ΔP เมื่อใช้เชื้อเพลิงผสม

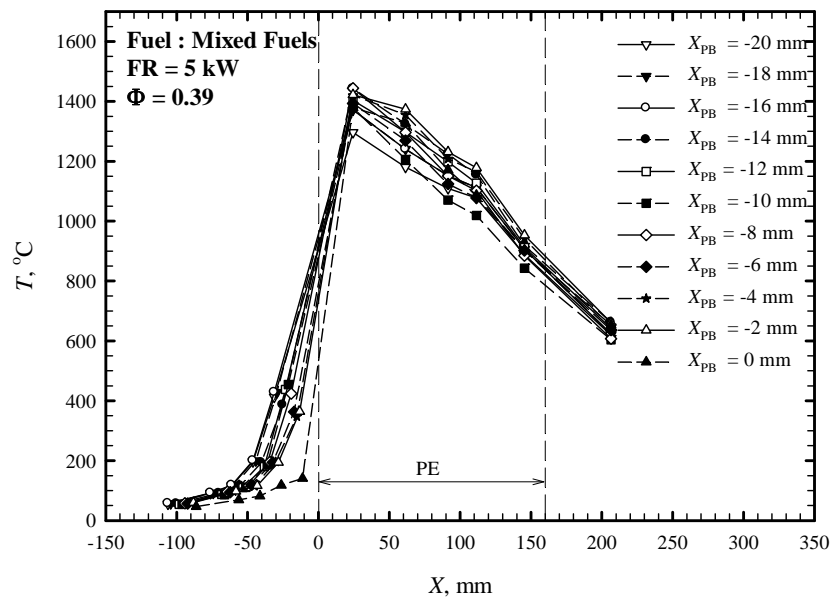


รูปที่ ค.34 อิทธิพลของค่า Φ ต่อ T_{ap} เมื่อใช้เชื้อเพลิงผสม

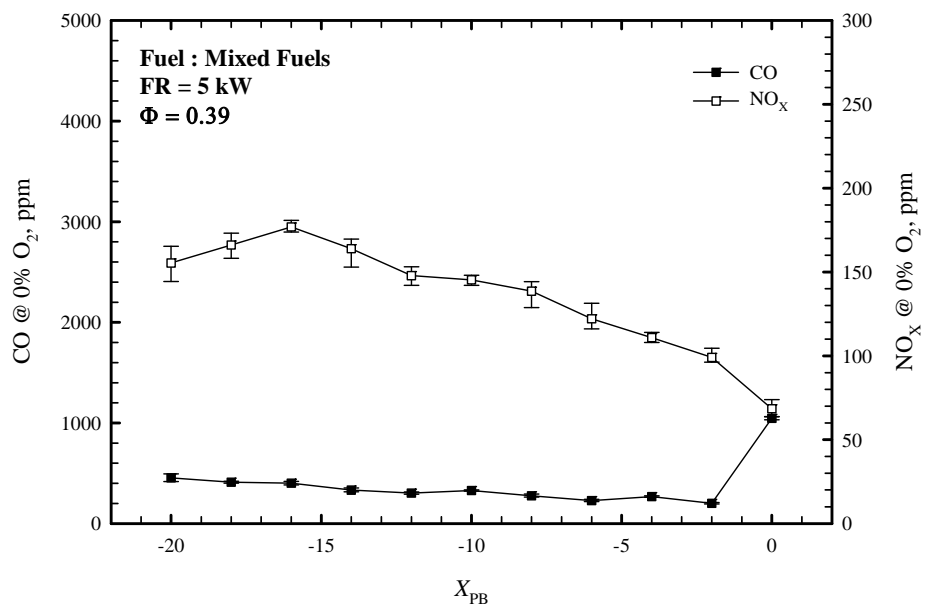


รูปที่ ค.35 อิทธิพลของค่า Φ ต่อ η_{pre} และ η_{rad} เมื่อใช้เชื้อเพลิงผสม

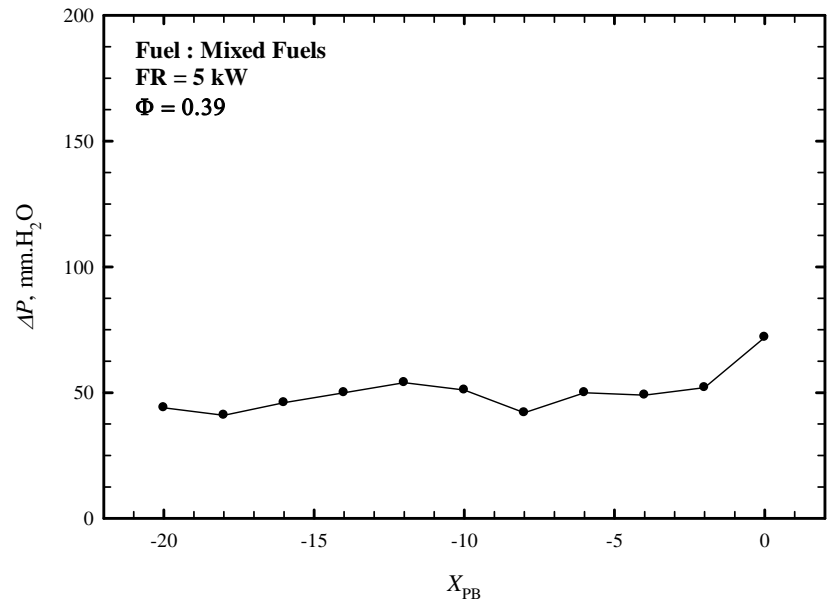
อิทธิพลของค่า X_{PB} ต่อการเผาไหม้



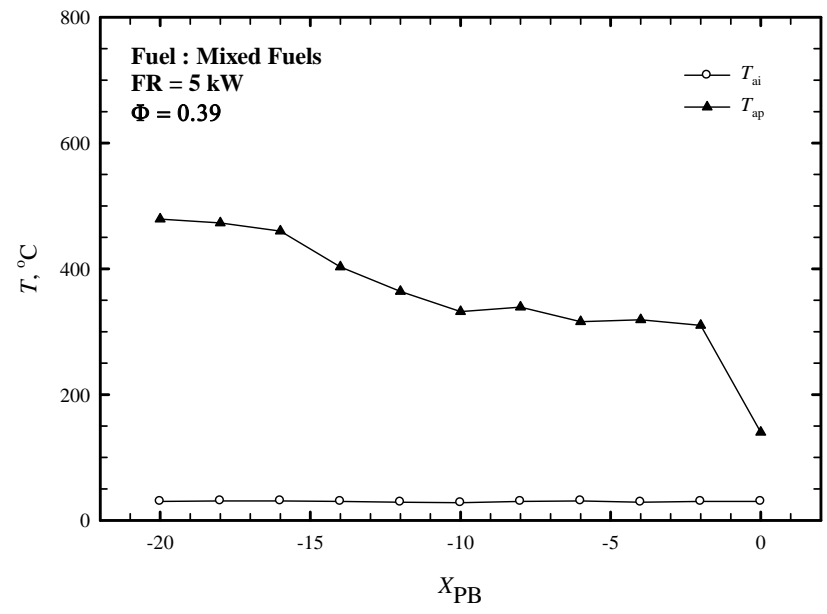
รูปที่ ๓.๓๖ อิทธิพลของค่า X_{PB} ต่อโครงสร้างอุณหภูมิเมื่อใช้เชื้อเพลิงผสม



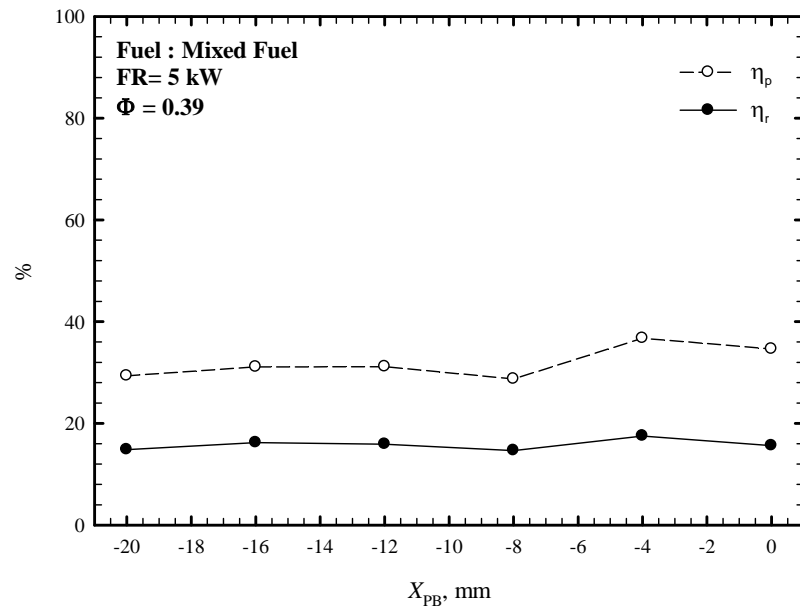
รูปที่ ๓.๓๗ อิทธิพลของค่า X_{PB} ต่อปริมาณ CO และ NO_x ในไอเสียเมื่อใช้เชื้อเพลิงผสม



รูปที่ ค.38 อิทธิพลของค่า X_{PB} ต่อ ΔP เมื่อใช้เชื้อเพลิงผสม

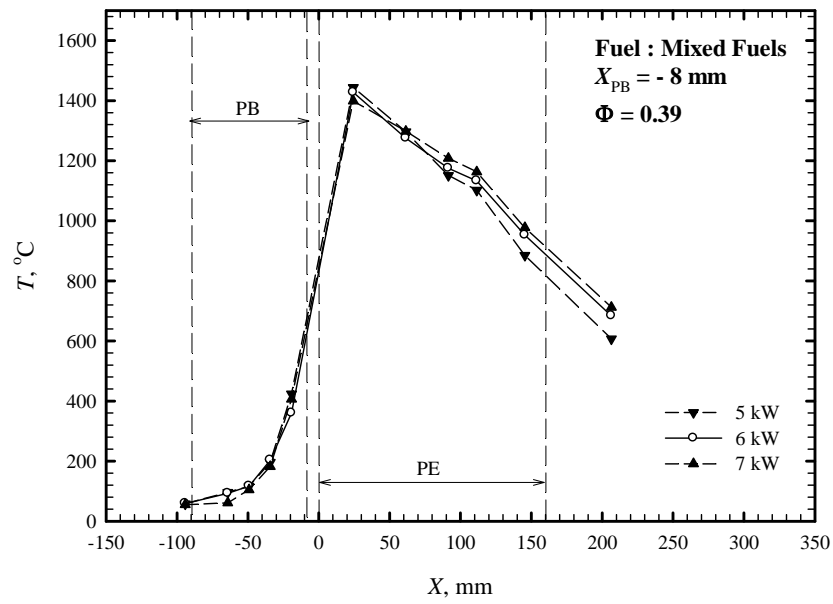


รูปที่ ค.39 อิทธิพลของค่า X_{PB} ต่อ T_{ap} เมื่อใช้เชื้อเพลิงผสม

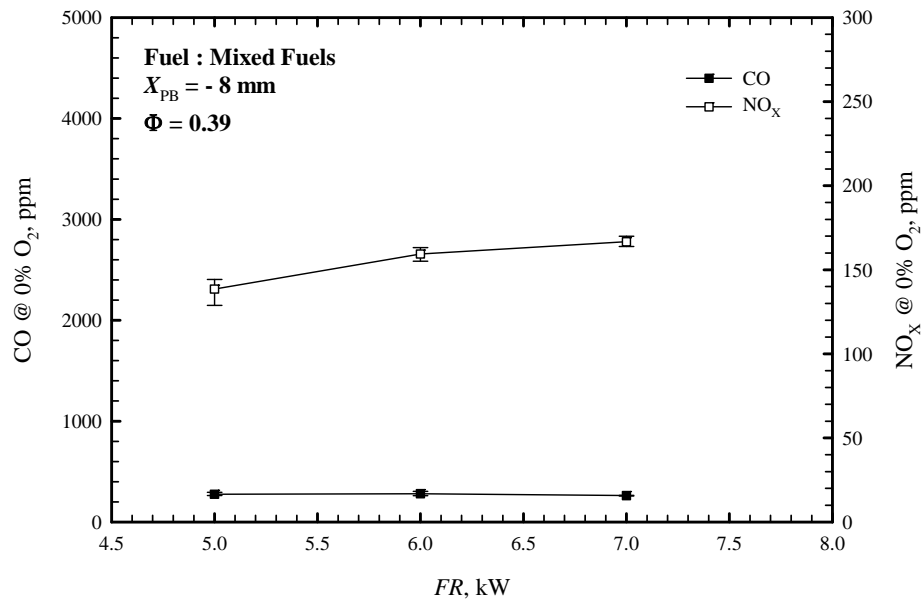


รูปที่ ๔.๔๐ อิทธิพลของค่า X_{PB} ต่อ η_{pre} และ η_{rad} เมื่อใช้เชื้อเพลิงผสม

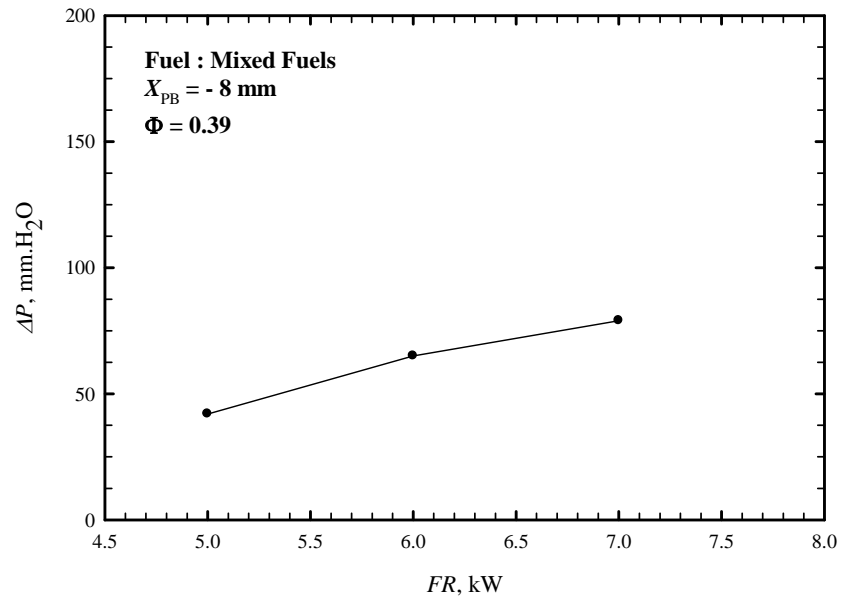
อิทธิพลของค่า FR ต่อการเผาไหม้



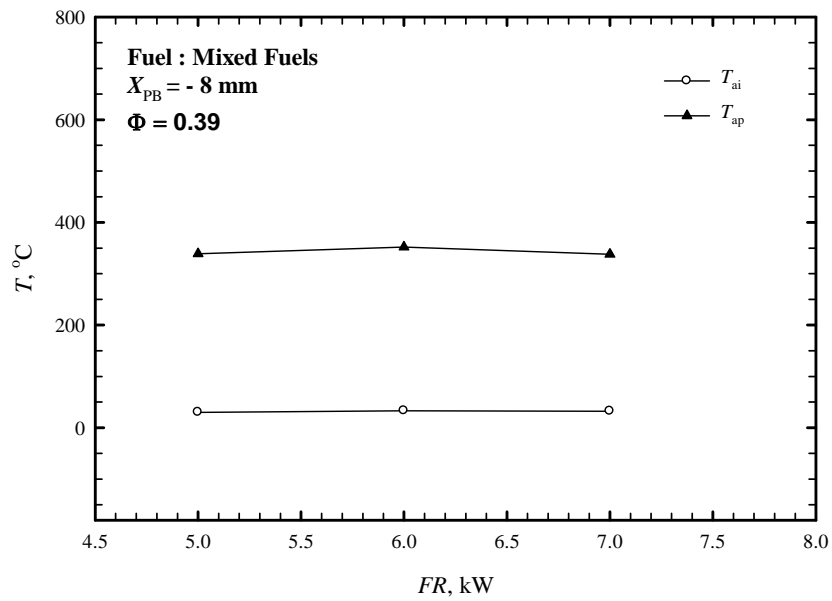
รูปที่ ค.41 อิทธิพลของค่า FR ต่อโครงสร้างอุณหภูมิเมื่อใช้เชื้อเพลิงผสม



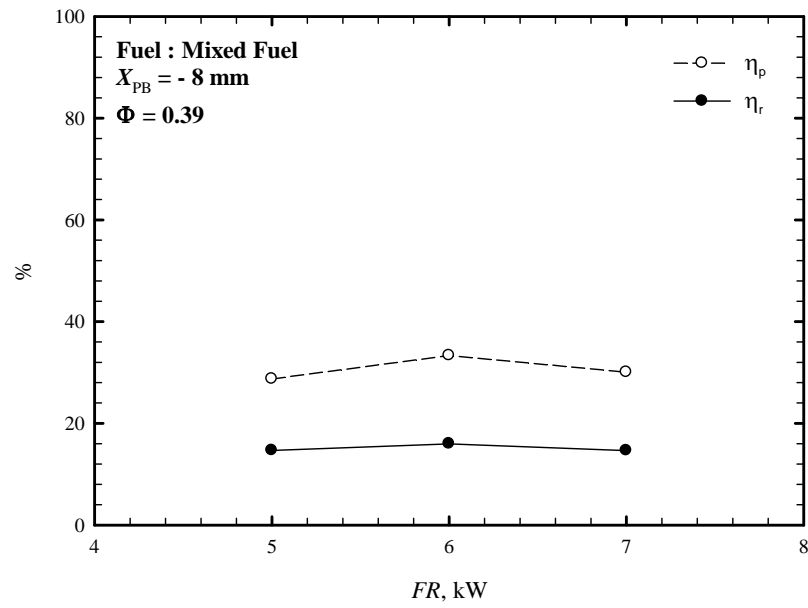
รูปที่ ค.42 อิทธิพลของค่า FR ต่อปริมาณ CO และ NO_x ในไอเสียเมื่อใช้เชื้อเพลิงผสม



รูปที่ ค.43 อิทธิพลของค่า FR ต่อ ΔP เมื่อใช้เชื้อเพลิงผสม



รูปที่ ค.44 อิทธิพลของค่า FR ต่อ T_{ap} เมื่อใช้เชื้อเพลิงผสม



รูปที่ ค.45 อิทธิพลของค่า FR ต่อ η_p และ η_r เมื่อใช้เชื้อเพลิงผสม